

работанных при  $T_0=1090$  К пленок  $\text{Bi}_2\text{Sr}_{2-x}\text{CaCu}_{1.9}\text{O}$  на керамике  $\text{BeO}$  при  $T > T_c$   $\partial\rho/dT \approx 0$ , скачок в электросопротивлении наблюдается при температурах, близких к  $T_c$  для соответствующих пленок на  $\text{MgO}$ , однако нулевое сопротивление достигается при  $T < 63$  К.

Таким образом, пленки  $\text{Bi}-\text{Sr}-\text{Ca}-\text{Cu}-\text{O}$  на поликристаллических подложках, приготовленные методом лазерного распыления, имеют близкие значения  $T_c$ . Различия в структуре пленок сказываются на ширине сверхпроводящего перехода и характере температурной зависимости  $\rho$  при  $T > T_c$ .

### Список литературы

- [1] Akon H., Shinoki F., Takashi M., Takada S. // Jap. J. Appl. Phys. 1988. V. 27. N 4. P. L519—L521.
- [2] Lahopoulos C., Kennedy W. L., Sridhar S. // Appl. Phys. Lett. 1988. V. 52. N 25. P. 2168—2170.
- [3] Волков М. П., Карченко Н. Ф., Филин Ю. Н., Мелех Б. Т., Машовец Д. В., Смирнов Д. В., Андреев А. А. // Тез. докл. XXV Всес. совещ. по физике низких температур. Л., 1988. С. 237—238.
- [4] Komuro S., Aoagi Y., Morikawa T., Namba S. // Jap. J. Appl. Phys. 1988. V. 27. N 1. P. L34—L36.
- [5] Furcone S. L., Chiang Y. M. // Appl. Phys. Lett. 1988. V. 52. N 25. P. 2180—2182.
- [6] Nakao M., Kuwahara H., Yuasa R., Mukaida H., Mizukami A. // Jap. J. Appl. Phys. 1988. V. 27. N 3. P. L378—L380.

Физико-технический институт  
им. А. Ф. Иоффе АН СССР  
Ленинград

Поступило в Редакцию  
22 ноября 1988 г.

УДК 539.37 : 539.389

Физика твердого тела, том 31, в. 5, 1989  
*Solid State Physics, vol. 31, № 5, 1989*

## ВЫСОКОТЕМПЕРАТУРНАЯ ПЛАСТИЧНОСТЬ КРИСТАЛЛОВ $\text{KCl}-\text{NaCl}$

С. Н. Балыкин, В. Н. Ерофеев

Хлориды калия и натрия при высокой температуре обладают полной взаимной растворимостью, кристаллизуясь в виде твердого раствора во всем диапазоне концентраций. Однако при более низких температурах существует область расслоения с максимумом при  $500$  °C, где твердый раствор распадается на фазы, близкие по составу к чистым  $\text{KCl}$  и  $\text{NaCl}$ . По внешнему виду распавшийся кристалл  $\text{KCl}-\text{NaCl}$  становится пепрозрачным, молочно-белого цвета. Такое расслоение приводит к новому структурному состоянию — поликристаллическому (размер зерна  $0.5-5$  мкм). Следствием изменения структурного состояния являются качественно новые физико-химические характеристики. Данная работа посвящена изучению механических свойств расслоившихся твердых растворов  $\text{KCl}-\text{NaCl}$  в температурном диапазоне от комнатной до  $550$  °C.

Кристаллы твердого раствора, близкого к эквимолярному, выращивались методом Чохральского на ориентированную затравку. В качестве сырья использовали соли  $\text{KCl}$  и  $\text{NaCl}$  марки «осч». После выращивания кристалл медленно охлаждался в ростовой печи. Из полученной поликристаллической були для испытаний вырезались образцы размером  $3 \times 3 \times 8$  мм таким образом, чтобы длинная ось образца совпадала с осью роста кристалла, а боковые грани соответствовали исходной ориентации затравки {100}. Испытания образцов проводили на машине «Инстрон» при сжатии со скоростью  $\dot{\epsilon} \sim 2 \cdot 10^{-4}$  с<sup>-1</sup> при комнатной температуре и выше, начиная со  $100$  до  $550$  °C, с интервалом  $50$  °C. Кроме того, были

испытаны (при комнатной температуре) образцы, подвергнутые закалке (100–550 °C).

Вид кривых напряжение–деформация соответствовал классическому для поликристаллов, а абсолютное значение предела текучести  $\sigma_t$  смешанного кристалла KCl–NaCl примерно в 100 раз превышало аналогичные значения для KCl и NaCl при комнатной температуре. При увеличении температуры существует общая тенденция к уменьшению предела текучести предельной деформации.

На рис. 1, 1 приведена температурная зависимость предела текучести. Обращают на себя внимание заметное увеличение предела текучести в области 280–300 °C, а также пик на кривой вблизи 500 °C — температуры фазового перехода. Кривая 2 соответствует значениям  $\sigma_t$  для закаленных образцов. И здесь наблюдаются два пика в области  $\sim 300 \div 320$  и 500 °C.

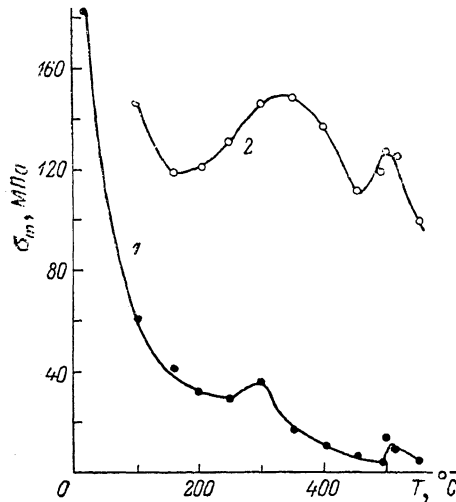


Рис. 1. Зависимость предела текучести кристаллов KCl–NaCl от температуры.

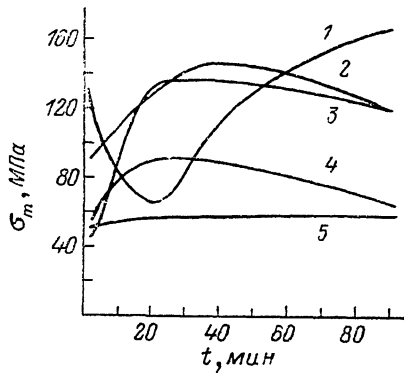


Рис. 2. Зависимость предела текучести кристаллов KCl–NaCl от времени выдержки при температуре измерения.

T, °C: 1 — 100, 2 — 150, 3 — 200, 4 — 250, 5 — 300.

Природа увеличения  $\sigma_t$  при 500 °C связана с процессом фазового перехода, механизм которого окончательно не выяснен. Однако на основании рентгеновских и оптических исследований процесса расслоения в кристаллах KCl–NaCl можно предположить, что на начальной стадии расслоения происходит образование модулированной структуры, представляющей собой полностью когерентные с матрицей формирования с составом, отличным от исходного состава твердого раствора. Изменение параметра решетки в таких областях и когерентная связь обеспечивают дальнодействующие поля упругих напряжений. В результате повышается макропрочность образца. Последующий рост таких формирований совместно с изменением состава в сторону чистых KCl и NaCl приводит к разрыву когерентной связи и исчезновению дальнодействующих полей упругих напряжений. Образуются зерна с некогерентными границами, которые являются непреодолимыми препятствиями на пути движения дислокаций и служат местами их стока аналогично поверхности кристалла. Это приводит к общему увеличению механической прочности расслоившихся кристаллов KCl–NaCl по сравнению с чистыми KCl и NaCl.

Появление пика  $\sigma_t$  при  $\sim 300$  °C навряд ли можно связать с процессами, изменяющими общую структуру образца. Вероятно, его появление можно отнести к процессам, происходящим внутри зерна. Ранее при изучении данной системы этому температурному интервалу не уделялось большого внимания, лишь в работах [1, 2] приведены зависимости изменения плотности [1] и проводимости [2] образцов KCl–NaCl эквимоляр-

ного состава от температуры, которые по характеру соответствуют зависимости  $\sigma_t(T)$ . Электропроводность чистых KCl подобной аномалией не обладала [2]. На чистых и легированных двухвалентными примесями ЩГК аналогичные пики прочности при тех же температурах наблюдались неоднократно [3-5]. Появление пиков связывали с изменением структурного состояния остаточных примесей и их взаимодействия с движущимися дислокациями. В контексте с общими наблюдениями для ЩГК поведение  $\sigma_t$  в нашем случае не является неожиданным и может быть связано с присутствием двухвалентных примесей, которые в том или ином структурном состоянии с разной силой стопорят дислокации внутри зерна.

Температура максимума  $\sigma_t$  и его величина зависят от условий термообработки. В данной работе исследована зависимость предела текучести KCl—NaCl от времени выдержки при температурах от 100 до 300 °C (рис. 2). Полученные результаты аналогичны данным [6] для кривых  $\sigma_t(t)$  в случае старения закаленных образцов KCl—NaCl состава 12.4 мол.% KCl.

Уменьшение предела текучести кристаллов KCl—NaCl при температурах выше 300 °C можно приписать снижению эффективности стопорения дислокаций границами зерен. В [7] аналогичные измерения проводились на образцах, полученных кристаллизацией в тигле и охлажденных до комнатной температуры со скоростью менее 30 °C/ч и также наблюдалось понижение  $\sigma_t$  при температуре выше 300 °C.

#### Список литературы

- [1] Andreev G. A., Buritskova L. G. // Cryst. Res. Technol. 1984. V. 19. N 2. P. 155—163.
- [2] Хартман Э., Ерофеев В. Н. // ФТТ. 1986. Т. 28. № 9. С. 2835—2837.
- [3] Eshelby J. D., Newey C. W. A., Pratt R. L., Lidiard A. B. // Phil. Mag. 1958. V. 3. P. 75—89.
- [4] Repach B. // Acta Met. 1972. V. 20. N 4. P. 557—567.
- [5] Сойфер Л. Н. Физика конденсированного состояния. Харьков, 1973. С. 45—64.
- [6] Wolfson R. G., Kobes W., Fine M. E. // J. Appl. Phys. 1966. V. 37. N 2. P. 704—712.
- [7] Arbel A. // J. Am. Cer. Soc. — Discuss. and Notes. 1967. V. 50. N 2. P. 114.

Институт физики твердого тела АН СССР  
Черноголовка  
Московская область

Поступило в Редакцию  
22 ноября 1988 г.

УДК 669.017.3

Физика твердого тела, том 31, в. 5, 1989  
*Solid State Physics, vol. 31, N 5, 1989*

#### ОТБОР ДИСЛОКАЦИОННЫХ ЦЕНТРОВ ЗАРОЖДЕНИЯ КРИСТАЛЛОВ МАРТЕНСИТА С ГАБИТУСАМИ, БЛИЗКИМИ К $\{hhl\}$ , В СПЛАВАХ ЖЕЛЕЗА

B. P. Верещагин, C. M. Кащенко

В теории мартенситного  $\gamma \rightarrow \alpha$  превращения (МП) в сплавах железа фундаментальной является проблема зарождения мартенситного кристалла (МК). Перспективной для ее решения представляется идея, связывающая зарождение МК с наличием дислокаций в аустените, поскольку упругое поле дислокации существенно снижает, как показано еще в [1], энергетический барьер для зарождения; в идеальном же аустените появление зародыша МК маловероятно. Однако представление о статическом зародыше (устроенному подобно кристаллу мартенсита), лежащее в основе такого и аналогичных ему вариантов анализа устойчивости аустенита,